

FIG. 1

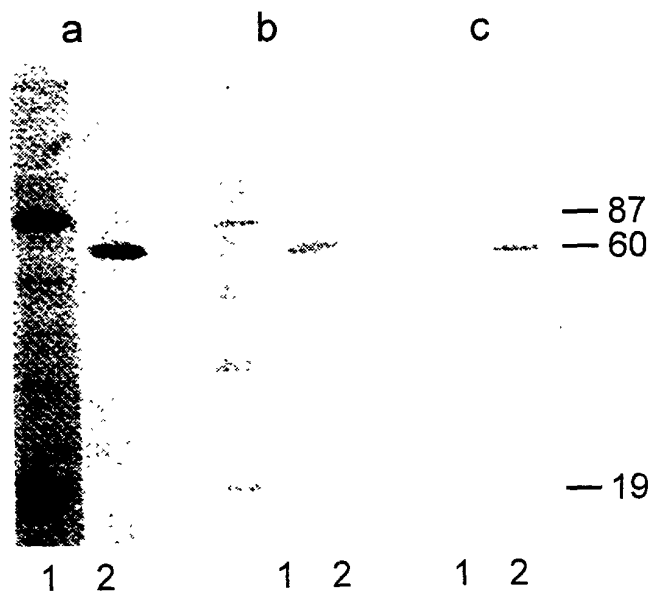


FIG. 2

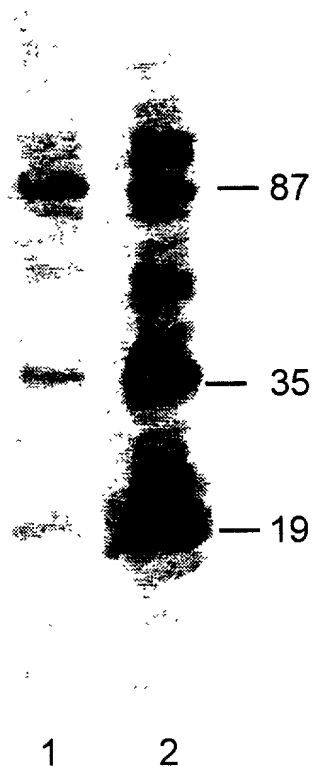


FIG. 3

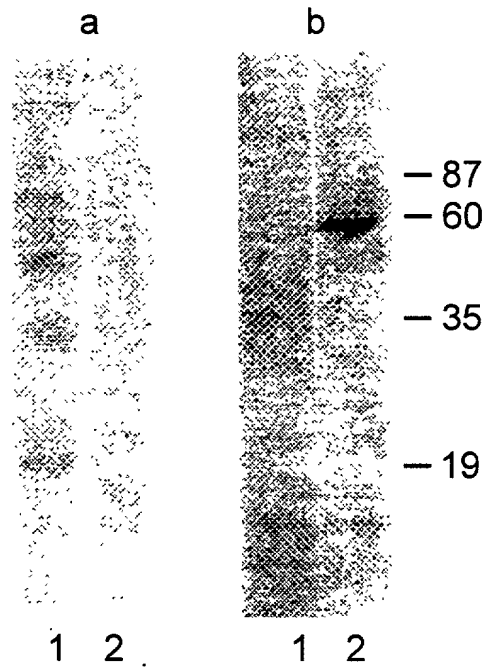


FIG. 4

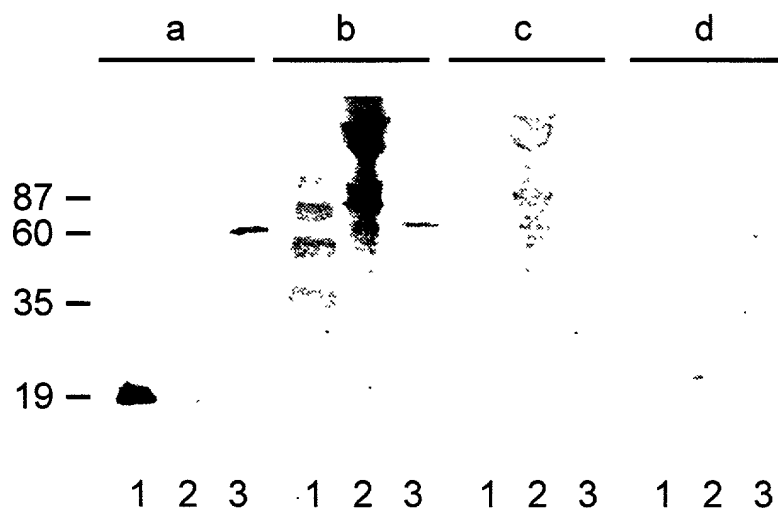


FIG. 5

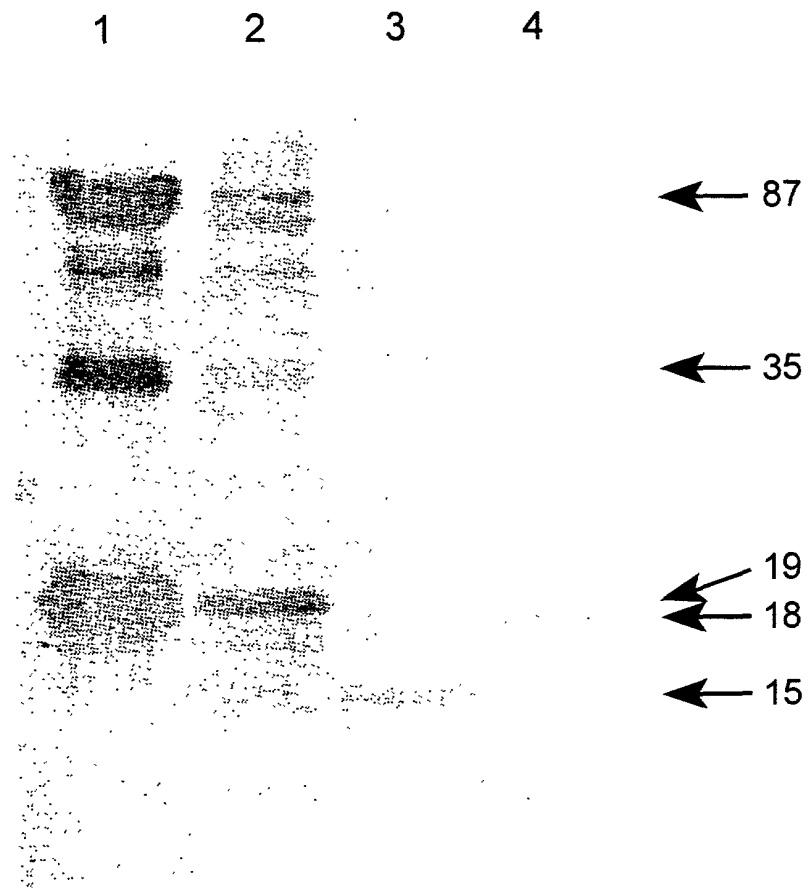


FIG. 6

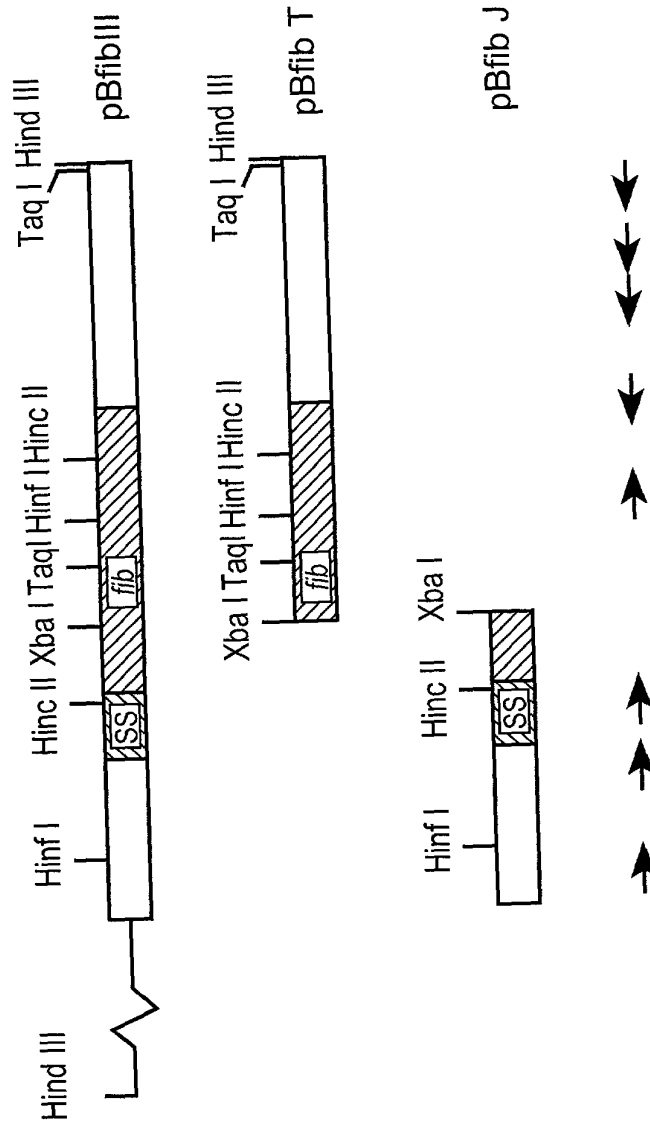


FIG. 7

1 GACTAGTGTATAAGTGCTGATGAGTCACAAGATAGATAACTATATTTTGTCTATATTATA 60
 -35
 61 AAGTGTTTATAGTTAATTAATAATTAGTTAATTTCAAAGTTGTATAAATAGGATAACTT 120
 -18 -35
 121 AATAAATGTAAGATAATAATTGGAGGATAATTAACATGAAAAATAAATTGATAGCAAAA 180
 -18 M K N K L I A K
 181 TCTTTATTAACAATAGCGCAATTGGTATTACTACAACACTACAATTGCGTCAACAGCAGAT 240
 S L L T I A A I G I T T T I A S T A D
 241 GCGAGCGAAGGATACGGTCCAAGAGAAAAGAAACAGTGAGTATTAATCACAATATCGTA 300
 A↑S E G Y G P R E K K P V S I N H N I V
 301 GAGTACAATGATGGTACTTTTAAATATCAATCTAGACCAAATTTAACTCAACACCTAAA 360
 E Y N D G T F K Y Q S R P K F N S T P K
 361 TATATTAAATTCAAACATGACTATAATATTTTAGAATTTAACGATGGTACATTGGAATAT 420
 Y I K F K H D Y N I L E F N D G T F E Y
 421 GGTGCACGTCCACAATTTAATAAACCAGCAGCGAAAACCTGATGCAACTATTAATAAAAGAA 480
 G A R P Q F N K P A A K T D A T I K K E
 481 CAAAAATTGATTCAAGCTCAAATCTTGTGAGAGAATTTGAAAAACACATACTGTCACT 540
 Q K L I Q A Q N L V R E F E K T H T V S
 541 GCACACAGAAAAGCACAAAAGGCAGTCAACTTAGTTTTGTTTGAATACAAAGTGAAGAAA 600
 A H R K A Q K A V N L V S F E Y K V K K
 601 ATGGTCTTACAAGAGCGAATTGATAATGTATTAACAAGGATTAGTGAGATAATACTTC 660
 M V L Q E R I D N V L K Q G L V R *
 661 TGTCATTATTTTAAGTTCAAATAATTTAATATTATATTATTTTATTAATAAAACGAC 720
 721 TATGCTATTTAATGCCAGGTTAATGTAACCTTCCTAAAATTGACTATATAATCGTTAAGT 780
 781 ATCAATTTTAAGGAGAGTTTACAATGAAATTTAAAAATATATATTAACAGGAACATTAG 840
 M K F K K Y I L T G T L A
 841 CATTACTTTTATCATCAACTGGGATAGCAACTATAGAAGGGAATAAAGCAGATGCAAGTA 900
 L L L S S T G I A T I E G N K A D A S S
 901 GTCTGGACAAATATTTAACTGAAAGTCAGTTTCATGATAAACGCATAGCAGAAGAATTAA 960
 L D K Y L T E S Q F H D K R I A E E L R
 961 GAACTTTACTTAACAAATCGAATGTATATGCATTAGCTGCAGGAAGCTT 1009
 T L L N K S N V Y A L A A G S 1

FIG. 8

1 ATAGATACTATATTTTGTCTATATTATAAAGTGTCTATAGTTAATTAATAATTAGTTAA 60
 1 G CA 60

61 TTTCAAAAGTTGTATAAATAGGATAACTTAATAAATGTAAGATAATAATTTGGAGGATAA 120
 61 120

121 TTAACATGAAAAATAAATTGATAGCAAAATCTTTATTAACAATAGCGGCAATTGGTATTA 180
 121 G GC T A 180

181 CTACAACTACAATTGCGTCAACAGCAGATGCGAGCGAAGGATACGGTCCAAGAGAAAAGA 240
 181 240

241 AACCAGTGAGTATTAATCACAATATCGTAGAGTACAATGATGGTACTTTTAAATATCAAT 300
 241 300

301 CTAGACCAAAATTTAACTCAACACCTAAATATATTAAATTCAAACATGACTATAATATTT 360
 301 360

361 TAGAATTTAACGATGGTACATTCTGAATATGGTGCACGTCCACAATTTAATAAACCAGCAG 420
 361 420

421 CGAAACTGATGCAACTATTAAAAAGAACAATAATTGATTCAAGCTCAAAATCTTGTGA 480
 421 480

481 GAGAATTTGAAAAACACATACTGTCAGTGCACACAGAAAAGCACAAAAGGCAGTCAACT 540
 481 540

541 TAGTTTCGTTTGAATACAAAGTGAAGAAAATGGTCTTACAAGAGCGAATTGATAATGTAT 600
 541 600

601 TAAACAAGGATTAGTGAGATAATACTTCTGTCATTATTTTAAGTTCAAAA...TAATT 660
 601 T A A AA C GC G T TC GG TAAT 660

661 TAATATTATATTATTTTTTATTAATAAAACGACTATGCTATTTAATGCCAGGTTAATGTA 720
 661 A G G A G G AA G AT A 720

721 ACTTTCCTAAAATTGACTATATAATCGTTAAGTATCAATTTTAAGGAGAGTTTACAATGA 780
 721 T G G C AG C T 780

781 AATTT 785
 781 785

FIG. 9

1 MKNKLIAKSLLTIAAIGITTTTIASTADASEGYGPREKKPVSINHNIVEYNDGTFKYQSR 60
1 A L 60
61 PKFNSTPKYIKFKHDYNILEFNDGTFEYGARPQFNKPAAKTDATIKKEQKLIQAQNLVRE 120
61 120
121 FEKTHTVSAHRKAQKAVNLVSFEYKVKKMVLQERIDNVLKQGLVR 165
121 K 165

FIG. 10

093649.08304
FD/280/2649E660

FO/230" 2648E560

Fbg-bp, strain Newman:

SEGYGPR

EKKPVSINH
KYIKFKHDY

NIVEYNDGSFK
NILLEFNDGTFE

YQSRPKFNSTP
YGARPOFNKPA

AKTDATIKKEQKLIQAQNLVREFEKTHTVSAHRKAQKAVNLVSFEYKVKKMVLQERIDNVLKQGLVR

Coagulase, strain 8325-4:

(C-terminal fragment)

KYVKYRDAGT	ASQ	YGPRPQFNKTP
ETNAY	GIREYNDGTFG	YEAPRFRNKPS
ETNAY	NVTTHANGQVS	YGARPTYKKPS
KTNAY	NVTTHANGQVS	YGARPTQNKPS
KTNAY	NVTTHANGQVS	YGARQAQNKPS
KTNAY	NVTTHANGQVS	YGARPTYKKPS
KTNAY	NVTTHADGFEAT	YGPRVTK

FIG. 11

Adherence and Internalisation to fibroblasts by Newman and Newman AH12 (Eap::Ery^R) O.N culture

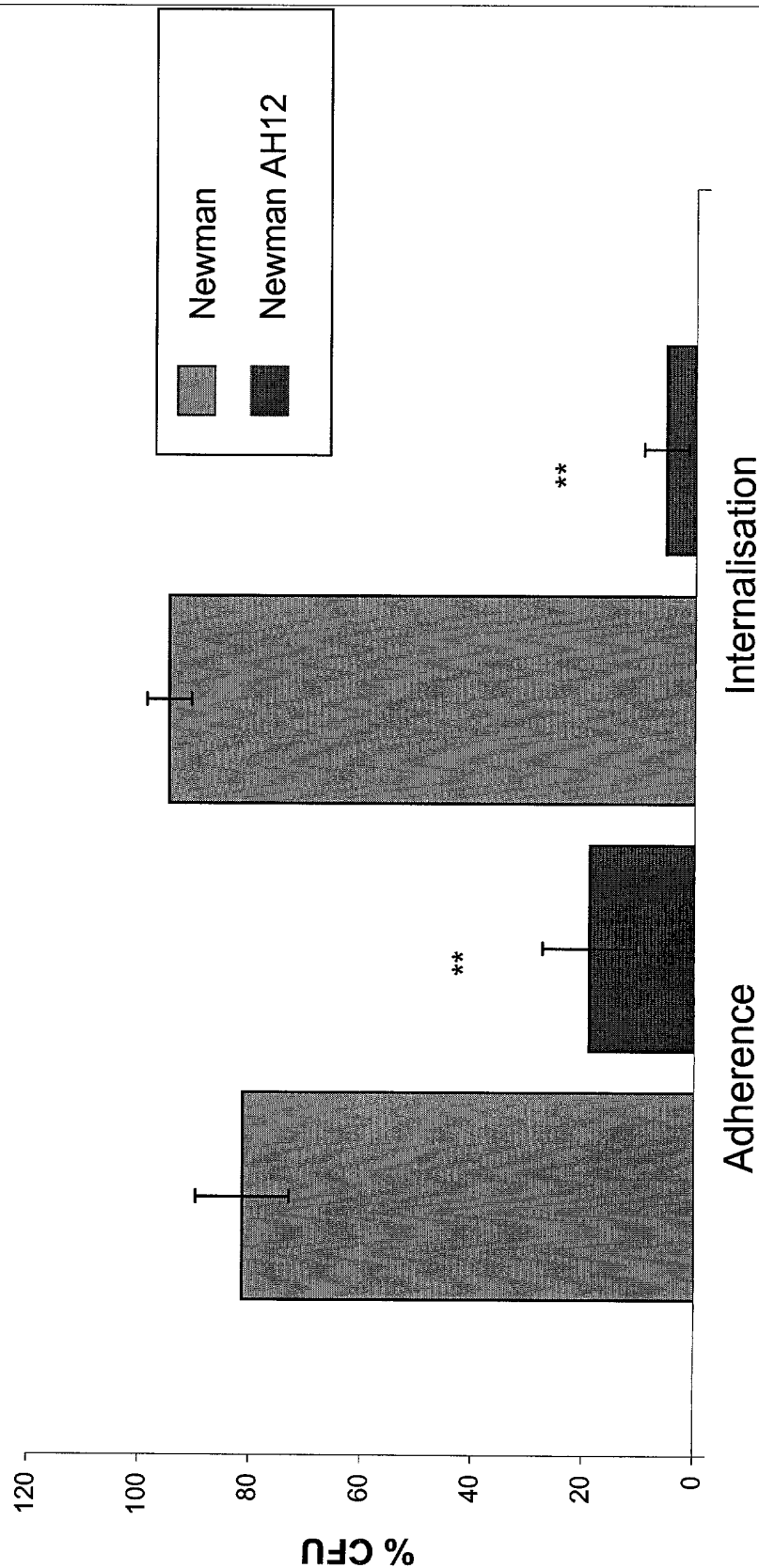


FIG. 12

Adherence and Internalization into epithelial cells of Newman and Newman AH12 (Eap::Ery^R), O.N culture

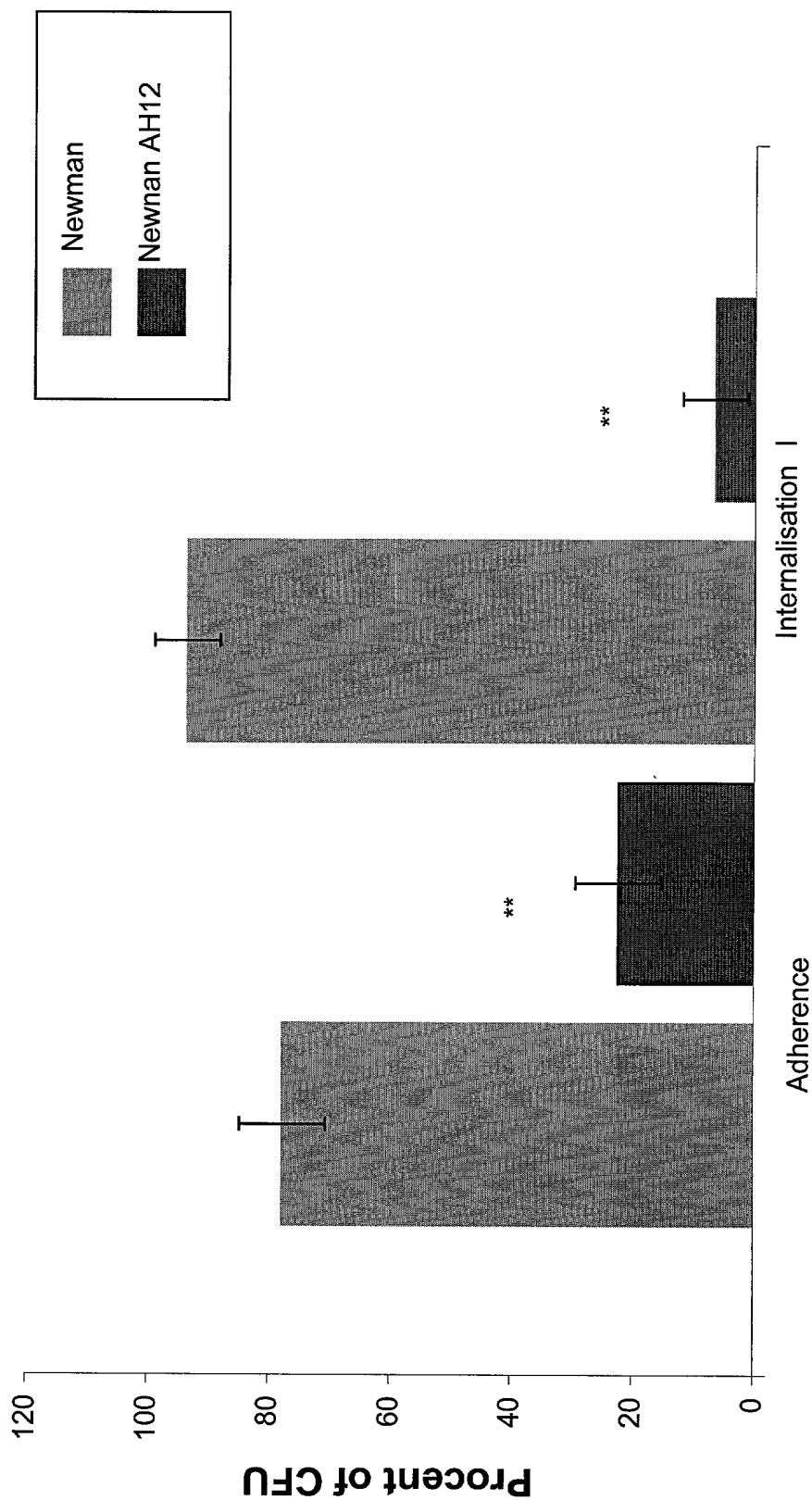


FIG. 13

Adherence and Internalisation to epithelial cells by a 2 hours culture of Newman and Newman AH12 (Eap::Ery^R)

APPL. FILING DATE: AUGUST 27, 2001
TITLE: FIBRINOGEN BINDING PROTEIN
INVENTOR(S): BODEN WASTFELT & FLOCK
APPLICATION SERIAL No: 012889-086
SHEET 13 of 14

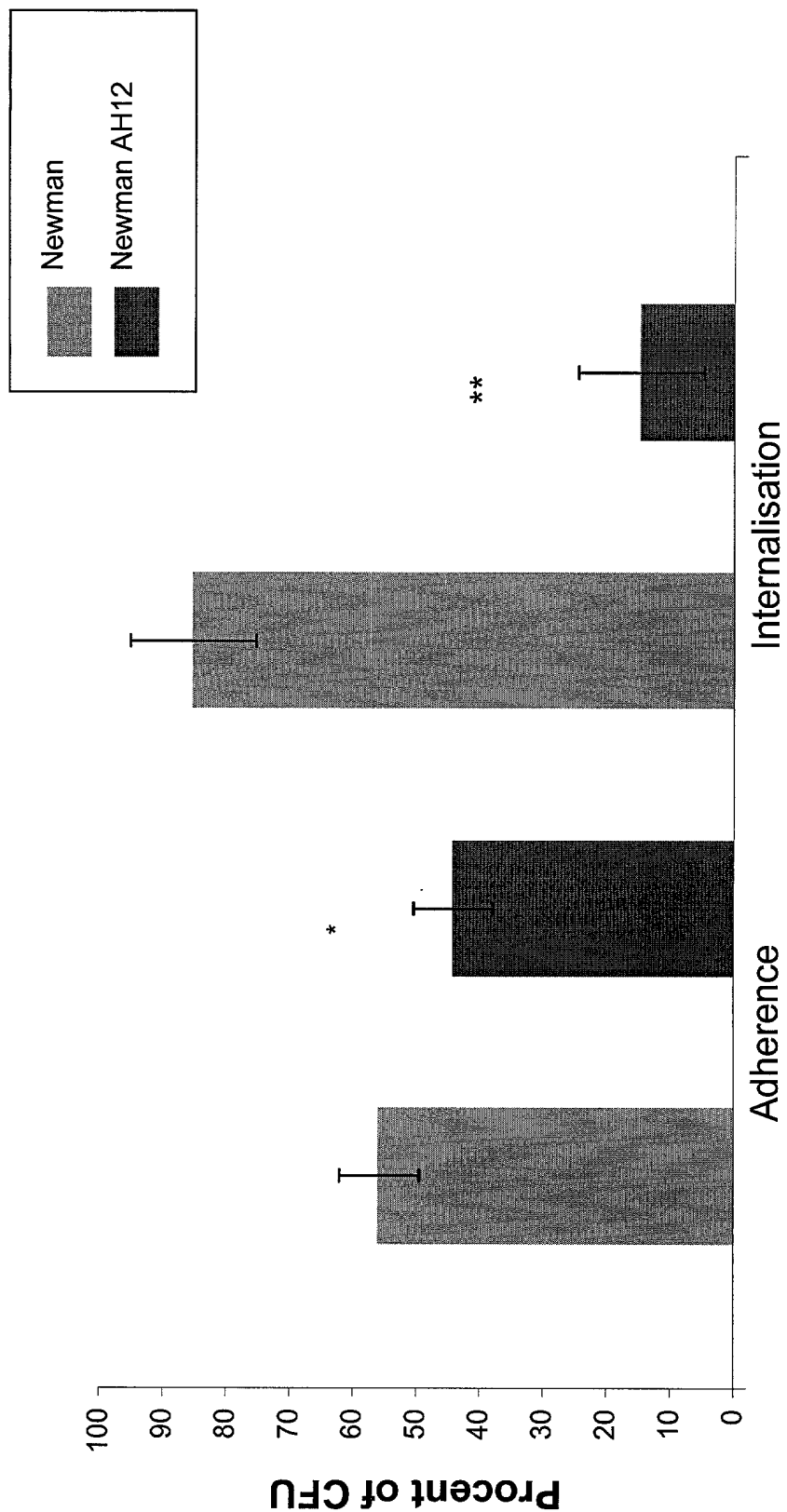


FIG. 14

Internalisation to fibroblasts by strain Newman in the presence or absence of Eap-AB

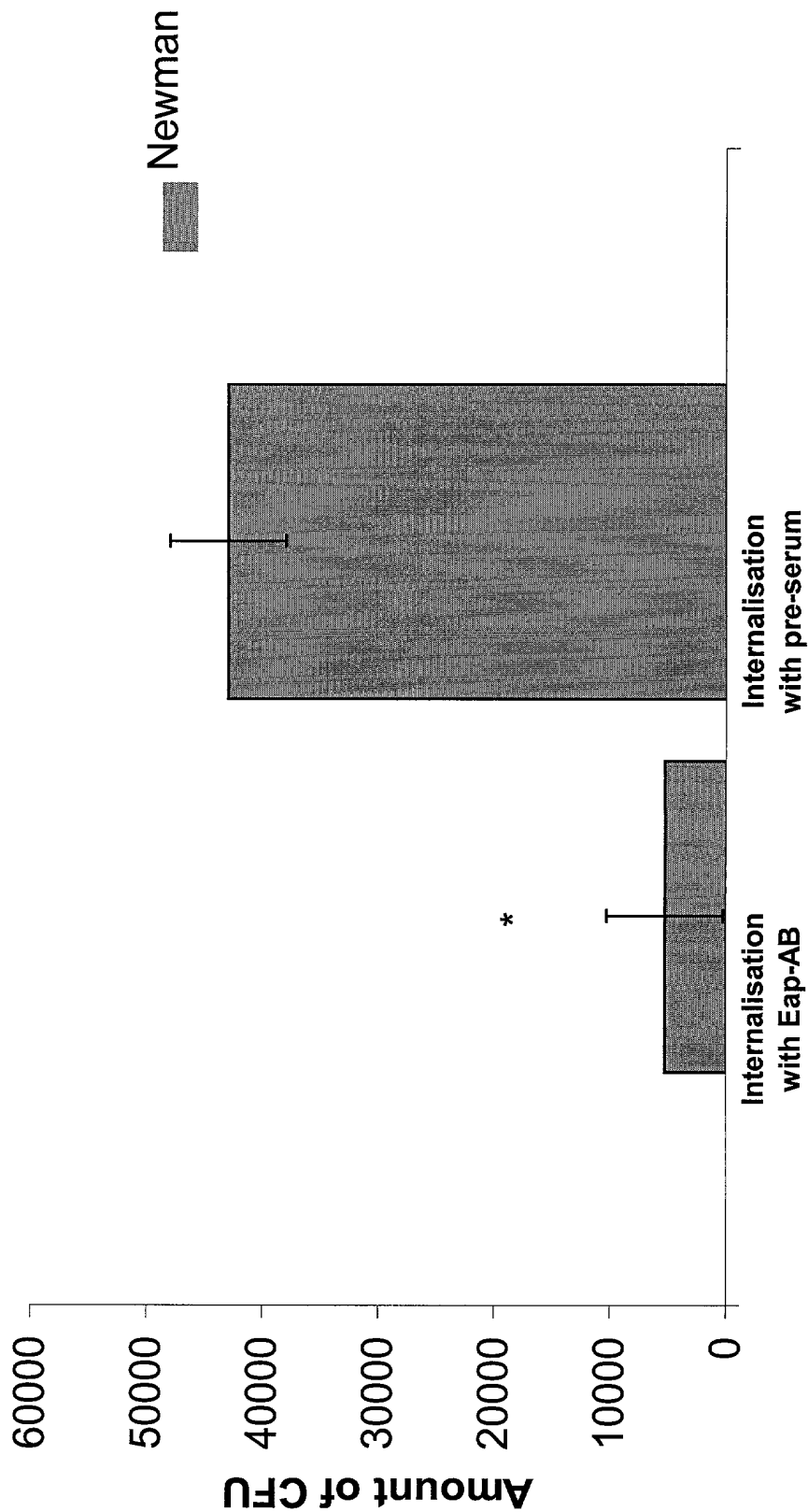


FIG. 15